

Číslicové riadenie

3. prednáška

PSD regulátor

a

stabilita diskretného regulačného obvodu

OBSAH – 3. prednášky

Návrh PSD regulátora

- spätná obdĺžniková náhrada
- dopredná obdĺžniková náhrada
- lichobežníková náhrada
- prepočet spojitého PID na diskretný PSD regulátor

Stabilita diskretného regulačného obvodu

- metóda bilineárnej transformácie

Diferenčné rovnice

Lineárne LTI diskrétné systémy môžeme opísať pomocou diferenčných rovníc:

- Dopredný tvar (forward form)

$$\sum_{i=0}^n a_i y(k+i) = \sum_{j=0}^m b_j u(k+j).$$

$$y(k+n) + a_{n-1} y(k+n-1) + \dots + a_1 y(k+1) + a_0 y(k) = b_m u(k+m) + b_{m-1} u(k+m-1) + \dots + b_1 u(k+1) + b_0 u(k)$$

- Spätný tvar (backward form)

$$\sum_{i=0}^n a_i y(k-i) = \sum_{j=0}^m b_j u(k-j), \quad a_0 = 1,$$

$$y(k) + a_1 y(k-1) + \dots + a_{n-1} y(k-n+1) + a_n y(k-n) = b_0 u(k) + b_1 u(k-1) + \dots + b_{m-1} u(k-m+1) + b_m u(k-m)$$

\mathcal{Z} - transformácia pre posunuté signály

funkcia	Z - transformácia
$y(k+2)$	$z^2 Y(z) - z^2 y(0) - z y(1)$
$y(k+1)$	$z Y(z) - z y(0)$
$y(k)$	$Y(z)$
$y(k-1)$	$z^{-1} Y(z)$
$y(k-2)$	$z^{-2} Y(z)$

Diferenčné rovnice pre systémy s dopravným oneskorením **d**

$$y(k) = - \sum_{i=1}^n a_i y(k-i) + \sum_{j=0}^m b_j u(k-d-j)$$

$$\begin{aligned} d &= D/T \\ n &\geq m \end{aligned}$$

$$q^{-1}y(k) = y(k-1) \quad \longrightarrow \quad \text{operátor spätného posunutia}$$

$$A(q^{-1})y(k) = q^{-d}B(q^{-1})u(k)$$

$$A(q^{-1}) = 1 + a_1q^{-1} + \dots + a_nq^{-n}$$

$$B(q^{-1}) = b_1q^{-1} + \dots + b_mq^{-m}$$

\mathcal{Z} - transformácia

$$\frac{y(k)}{u(k)} = \frac{q^{-d}B(q^{-1})}{A(q^{-1})}, \quad G(z^{-1}) = \frac{Y(z^{-1})}{U(z^{-1})} = \frac{z^{-d}B(z^{-1})}{A(z^{-1})}$$

Ak $G(z)=B(z)/A(z) = b_1z^{-1}/(1+a_1z^{-1}) \rightarrow$ **Zosilnenie systému:** $K=b_1/(1+a_1)=B(1)/A(1)$

$$G(z) = \frac{b_1 z^{-1} + b_2 z^{-2}}{1 + a_1 z^{-1} + a_2 z^{-2}} \cdot z^{-1}$$

$$\frac{Y(z)}{U(z)} = \frac{b_1 z^{-2} + b_2 z^{-3}}{1 + a_1 z^{-1} + a_2 z^{-2}}$$

$$(1 + a_1 z^{-1} + a_2 z^{-2}) Y(z) = (b_1 z^{-2} + b_2 z^{-3}) U(z)$$

$$y(k) + a_1 y(k-1) + a_2 y(k-2) = b_1 u(k-2) + b_2 u(k-3)$$

$$y(k) = \dots$$

alebo blok **Discrete Filter**

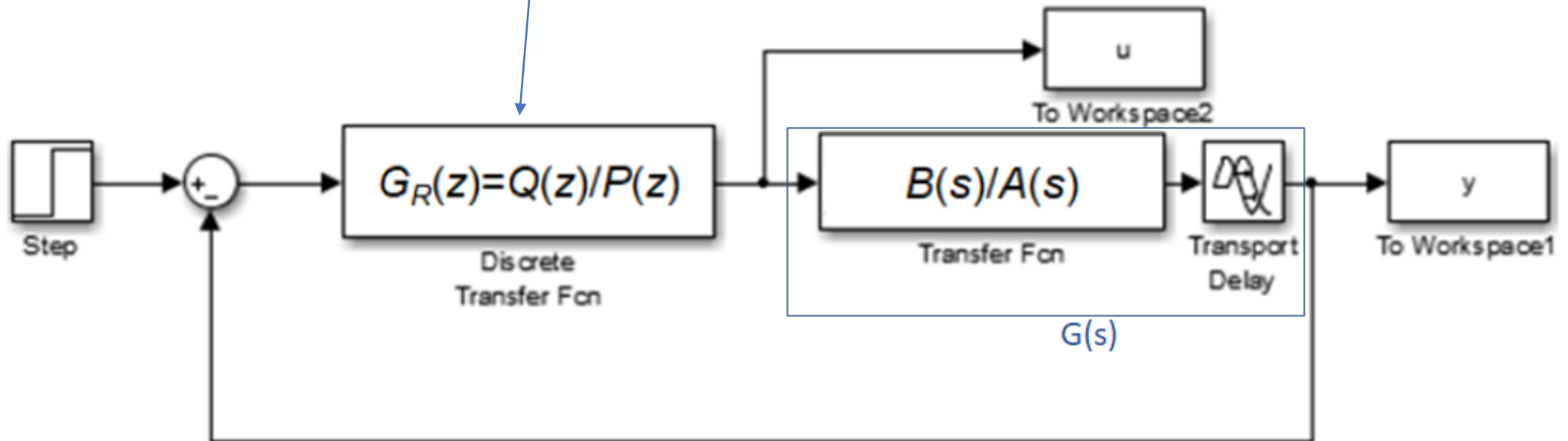
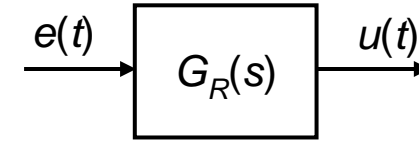


Schéma diskrétného regulačného obvodu.

Nech je navrhnutý PID regulátor s optimálnymi parametrami.



Prenosová funkcia
PID regulátora:

$$G_R(s) = \frac{U(s)}{E(s)} = P + I \frac{1}{s} + Ds = P \left(1 + \frac{1}{T_I s} + T_D s \right) = r_0 + \frac{r_{-1}}{s} + r_1 s$$

resp. prechodová funkcia:

$$u(t) = P \left[e(t) + \frac{1}{T_I} \int_0^t e(\tau) d\tau + T_D \frac{de(t)}{dt} \right] = \boxed{Pe(t)} + \boxed{I \int_0^t e(\tau) d\tau} + \boxed{D \frac{de(t)}{dt}} = \boxed{u_P(t)} + \boxed{u_I(t)} + \boxed{u_D(t)} \quad (1)$$

Úloha:

Prepočítať PID regulátor na ekvivalentný diskretný PSD (proporcionálno-sumačno-diferenčný) regulátor.

Pre $u_P(t)$ z rovnice (1) v čase $t = kT$ platí, že $u_P(k) = Pe(k)$. Pre $t = (k - 1)T$, dostaneme $u_P(k - 1) = Pe(k - 1)$. Pre rekurentnú (rýchlostnú) formu potom platí:

$$\Delta u_P(k) = u_P(k) - u_P(k - 1) = P [e(k) - e(k - 1)] \quad (2)$$

Je zrejmé, že po zavedení \mathcal{Z} -transformácie platí:

$$U_P(z) = P E(z)$$

následne získame diskrétnu prenosovú funkciu pre časť regulátora:

$$G_{RP}(z) = \frac{U_P(z)}{E(z)} = P \quad (3)$$

- **Spätná obdĺžniková** náhrada (backward Euler method)
- **Dopredná obdĺžniková** náhrada (forward Euler method)
- **Lichobežníková** náhrada (Trapezoidal method - Tustin)

Deriváciu funkcie $u_D(t)$ v (1) v čase $t = kT$ môžeme aproximovať diferenciou

$$u_D(t) = D \frac{de(t)}{dt} \Rightarrow u_D(k) = D \frac{e(k) - e(k-1)}{T}$$

Pre rekurentnú (rýchlostnú) formu potom platí:

$$u_D(k) - u_D(k-1) = D \frac{e(k) - e(k-1)}{T} - D \frac{e(k-1) - e(k-2)}{T},$$

$$\Delta u_D(k) = D \frac{e(k) - 2e(k-1) + e(k-2)}{T} \quad (4)$$

Ak aplikujeme \mathcal{Z} -transformáciu

$$(1 - z^{-1})U_D(z) = D \frac{(1 - 2z^{-1} + z^{-2})}{T} E(z),$$
$$U_D(z) = D \frac{1 - z^{-1}}{T} E(z)$$

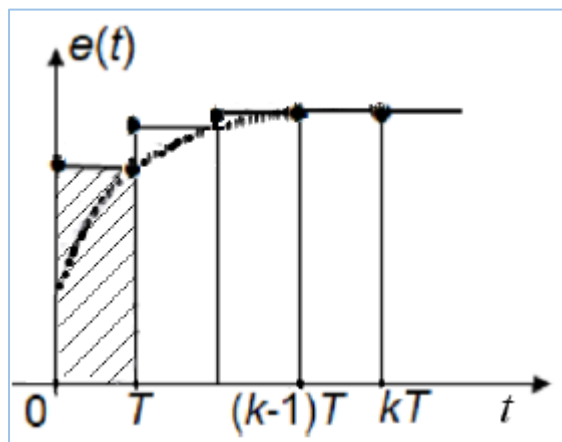
následne získame diskretnú prenosovú funkciu pre derivačnú časť regulátora

$$G_{RD}(z) = \frac{U_D(z)}{E(z)} = D \frac{1 - z^{-1}}{T} = D \frac{z - 1}{Tz}. \quad (5)$$

Ak porovnáme (5) so spojitou prenosovou funkciou derivačnej časti regulátora $G_{RD}(s) = Ds$, dostaneme vzťah:

$$s \approx \frac{z - 1}{Tz} = \frac{1 - z^{-1}}{T}. \quad (6)$$

Integrál funkcie $u_I(t)$ v (1) v čase $t = kT$ môžeme nahradiť sumou obdĺžnikov



$$u_I(t) = I \int_0^t e(\tau) d\tau \Rightarrow u_I(k) = IT \sum_{i=0}^k e(i)$$

Pre rekurentnú (rýchlostnú) formu potom platí:

$$u_I(k) - u_I(k-1) = IT \sum_{i=0}^k e(i) - IT \sum_{i=0}^{k-1} e(i)$$

$$\Delta u_I(k) = IT e(k) \quad (7)$$

Ak aplikujeme \mathcal{Z} -transformáciu

$$(1 - z^{-1})U_I(z) = IT E(z)$$

Následne získame diskretnú prenosovú funkciu pre integračnú časť regulátora

$$G_{R_I}(z) = \frac{U_I(z)}{E(z)} = IT \frac{1}{1 - z^{-1}} = IT \frac{z}{z - 1} \quad (8)$$

Ak porovnáme (8) so spojitou prenosovou funkciou integračnej časti regulátora $G_{R_I}(s) = \frac{I}{s}$, dostaneme vzťah (6). Pre rýchlostný algoritmus PSD regulátora platí vzťah:

$$\Delta u(k) = u(k) - u(k - 1) = \Delta u_P(k) + \Delta u_I(k) + \Delta u_D(k) \quad (9)$$

Môžeme ho vyjadriť aj ako:

$$\Delta u(k) = u(k) - u(k - 1) = q_0 e(k) + q_1 e(k - 1) + q_2 e(k - 2) \quad (10)$$

$$\Delta w(k) = w(k) - w(k-1)$$

$$\Delta U(z) = U(z) - z^{-1}U(z)$$

$$\Delta U(z) = (1 - z^{-1})U(z)$$

$$w(k) = w(k-1) + q_0 e(k) + q_1 e(k-1) + q_2 e(k-2)$$

$$U(z) = z^{-1}U(z) + q_0 E(z) + q_1 z^{-1}E(z) + q_2 z^{-2}E(z)$$

$$(1 - z^{-1})U(z) = (q_0 + q_1 z^{-1} + q_2 z^{-2})E(z)$$

$$G_R(z) = \frac{U(z)}{E(z)} = \frac{q_0 + q_1 z^{-1} + q_2 z^{-2}}{1 - z^{-1}}$$

Prenosová funkcia diskretného regulátora je (získame ju \mathcal{Z} -transformáciou (10)):

$$G_R(z) = \frac{U(z)}{E(z)} = \frac{q_0 + q_1 z^{-1} + q_2 z^{-2}}{1 - z^{-1}} \quad (11)$$

Dosadením vzťahov (2) , (4) a (7) do (9) a porovnaním so vzťahom (10) vypočítame koeficienty PSD regulátora získaného spätnou obdĺžnikovou náhradou (backward Euler method):

$$\begin{aligned} q_0 &= P + TI + \frac{D}{T} = P \left(1 + \frac{T}{T_I} + \frac{T_D}{T} \right), \\ q_1 &= -P - \frac{2D}{T} = -P \left(1 + \frac{2T_D}{T} \right), \\ q_2 &= \frac{D}{T} = \frac{PT_D}{T}. \end{aligned} \quad (12)$$

kde P , I , D sú zosilnenia jednotlivých častí spojitého PID regulátora a T je perióda vzorkovania. Prenosovú funkciu diskretného regulátora získame dosadením parametrov (12) do (11) .

Typ regulátora	Analogový regulátor	Číslicový regulátor
P	P	P
I	$\frac{1}{T_I s}$	$\frac{T}{T_I} \frac{z}{z-1}$
PI	$P \left(1 + \frac{1}{T_I s} \right)$	$P \left(1 + \frac{T}{T_I} \frac{z}{z-1} \right)$
PD	$P (1 + T_D s)$	$P \left(1 + \frac{T_D}{T} \frac{z-1}{z} \right)$
PID	$P \left(1 + \frac{1}{T_I s} + T_D s \right)$	$P \left(1 + \frac{T}{T_I} \frac{z}{z-1} + \frac{T_D}{T} \frac{z-1}{z} \right)$

Štandardné analógové a číslicové regulátory.

Deriváciu funkcie $u_D(t)$ v (1) v čase $t = kT$ môžeme aproximovať diferenciou

$$u_D(t) = D \frac{de(t)}{dt} \Rightarrow u_D(k) = D \frac{e(k+1) - e(k)}{T}$$

Ak aplikujeme \mathcal{Z} -transformáciu

$$U_D(z) = D \frac{z - 1}{T} E(z)$$

následne získame diskretnú prenosovú funkciu pre derivačnú časť regulátora

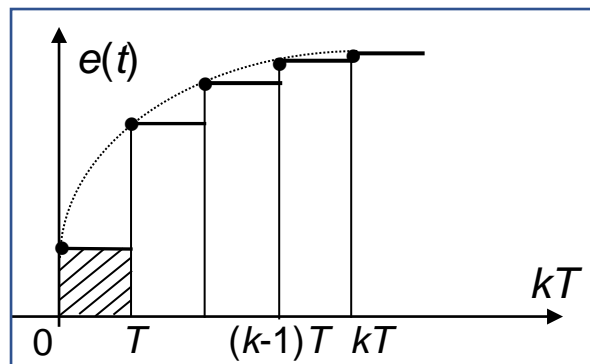
$$G_{R_D}(z) = \frac{U_D(z)}{E(z)} = D \frac{1 - z^{-1}}{T z^{-1}} = D \frac{z - 1}{T}$$

Ak porovnáme (5) so spojitou prenosovou funkciou derivačnej časti regulátora $G_{R_D}(s) = Ds$, dostaneme vzťah:

$$s \approx \frac{z - 1}{T} = \frac{1 - z^{-1}}{T z^{-1}}$$

(13)

Integrál funkcie $u_I(t)$ v (1) v čase $t = kT$ môžeme nahradiť sumou obdĺžnikov



$$u_I(t) = I \int_0^t e(\tau) d\tau \Rightarrow u_I(k) = IT \sum_{i=0}^k e(i-1)$$

Pre rekurentnú (rýchlostnú) formu potom platí:

$$u_I(k) - u_I(k-1) = IT \sum_{i=0}^k e(i-1) - IT \sum_{i=0}^{k-1} e(i-1)$$

$$\Delta u_I(k) = IT e(k-1)$$

Ak aplikujeme \mathcal{Z} -transformáciu

$$(1 - z^{-1})U_I(z) = z^{-1}IT E(z)$$

Následne získame diskretnú prenosovú funkciu pre integračnú časť regulátora

$$G_{R_I}(z) = \frac{U_I(z)}{E(z)} = IT \frac{z^{-1}}{1 - z^{-1}} = \frac{IT}{z - 1} \quad (14)$$

Ak porovnáme (14) so spojitou prenosovou funkciou integračnej časti regulátora $G_{R_I}(s) = \frac{I}{s}$, dostaneme vzťah (13)

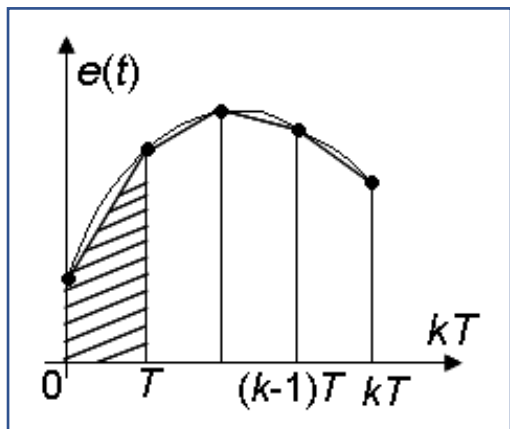
Deriváciu funkcie môžeme aproximovať z Padého rozvoja premennej z

$$z = e^{sT} = \frac{e^{s\frac{T}{2}}}{e^{-s\frac{T}{2}}} \approx \frac{1 + \frac{T}{2}s}{1 - \frac{T}{2}s} \quad (15)$$

Zo vťahu (15) dostaneme Tustinov vzťah:

$$s \approx \frac{2}{T} \frac{z - 1}{z + 1} = \frac{2}{T} \frac{1 - z^{-1}}{1 + z^{-1}} \quad (16)$$

Integrál funkcie $u_I(t)$ v (1) v čase $t = kT$ môžeme nahradiť sumou lichobežníkov



$$u_I(t) = I \int_0^t e(\tau) d\tau \Rightarrow u_I(k) = \frac{IT}{2} \sum_{i=0}^k [e(i) + e(i-1)]$$

Pre rekurentnú (rýchlostnú) formu potom platí:

$$u_I(k) - u_I(k-1) = \frac{IT}{2} \sum_{i=0}^k [e(i) + e(i-1)] - \frac{IT}{2} \sum_{i=0}^{k-1} [e(i) + e(i-1)]$$

$$\Delta u_I(k) = \frac{IT}{2} [e(k) + e(k-1)]$$

Ak aplikujeme \mathcal{Z} -transformáciu

$$(1 - z^{-1})U_I(z) = \frac{IT(1 + z^{-1})}{2} E(z)$$

Následne získame diskretnú prenosovú funkciu pre integračnú časť regulátora

$$G_{R_I}(z) = \frac{U_I(z)}{E(z)} = \frac{IT}{2} \frac{1 + z^{-1}}{1 - z^{-1}} = \frac{IT}{2} \frac{z + 1}{z - 1} \quad (17)$$

Ak porovnáme (17) so spojitou prenosovou funkciou integračnej časti regulátora $G_{R_I}(s) = \frac{I}{s}$, dostaneme vzťah (Tustinov vzťah) (16)

Zhrnutie výsledkov

metóda	diskrétny ekvivalent
lichobežníková náhrada (trapezoidal method - Tustin)	$s \approx \frac{2}{T} \frac{z - 1}{z + 1} = \frac{2}{T} \frac{1 - z^{-1}}{1 + z^{-1}}$
obdĺžniková náhrada - dopredná (forward rectangular method)	$s \approx \frac{z - 1}{T} = \frac{1 - z^{-1}}{T z^{-1}}$
obdĺžniková náhrada - spätná (backward rectangular method)	$s \approx \frac{z - 1}{T z} = \frac{1 - z^{-1}}{T}$

Porovnanie troch aproximačných metód.

Algoritmus návrhu PSD regulátora pre spojitý systém

ÚLOHA: Navrhnete číslicový PID regulátor (PSD regulátor) pre riadený systém s prenosovou funkciou $G(s)$.

Postup riešenia pre získanie prenosovej funkcie PSD regulátora.

- 1. Pre zadaný systém $G(s)$ vypočítame optimálne parametre spojitého regulátora** (P, T_I, T_D príp. P, I, D , teda získame prenosovú funkciu regulátora $G_R(s)$) pomocou známej metódy (optimálneho modulu, inverznej dynamiky príp. inej metódy).
- 2. Určíme vhodnú periódu vzorkovania.**
- 3. Na základe vhodnej aproximácie** (podľa Tab. na str. 23) **získame** prenosovú funkciu regulátora $G_R(z)$.

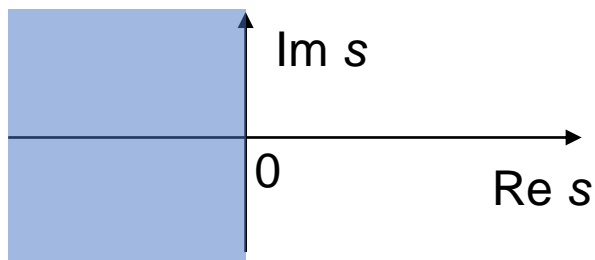
Stabilita diskretných systémov:

- poloha pólov diskretnej prenosovej funkcie
- stabilita diskretneho URO
- bilineárna transformácia

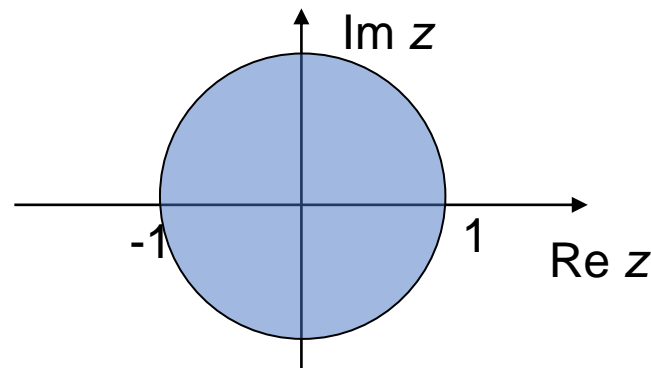
Transformácia medzi „s“ a „z“ oblasťou

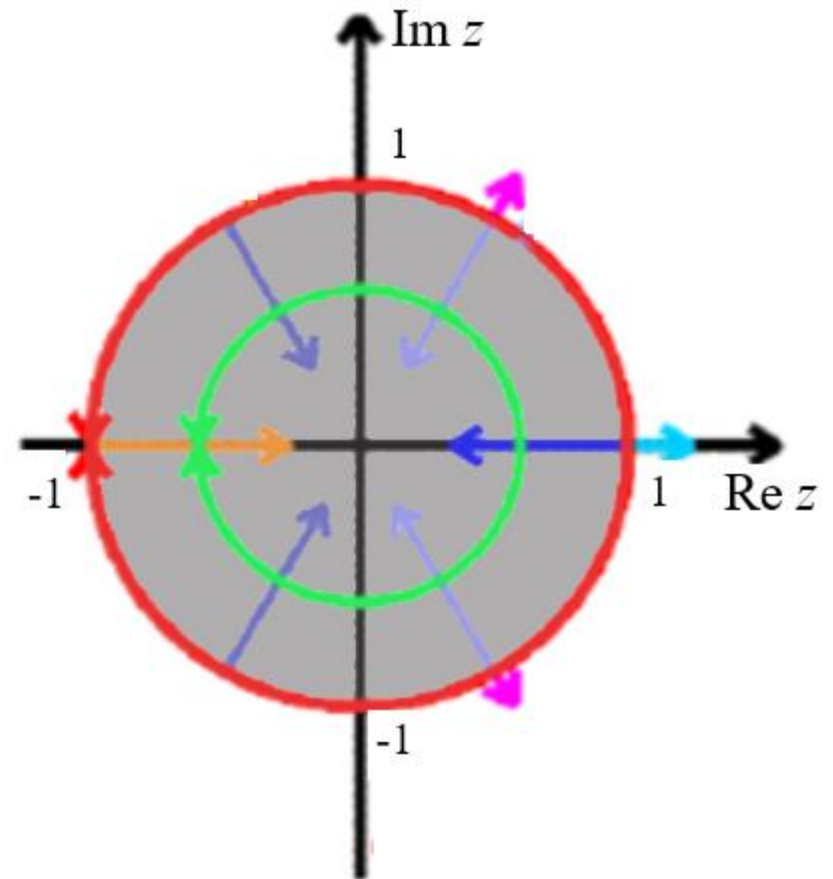
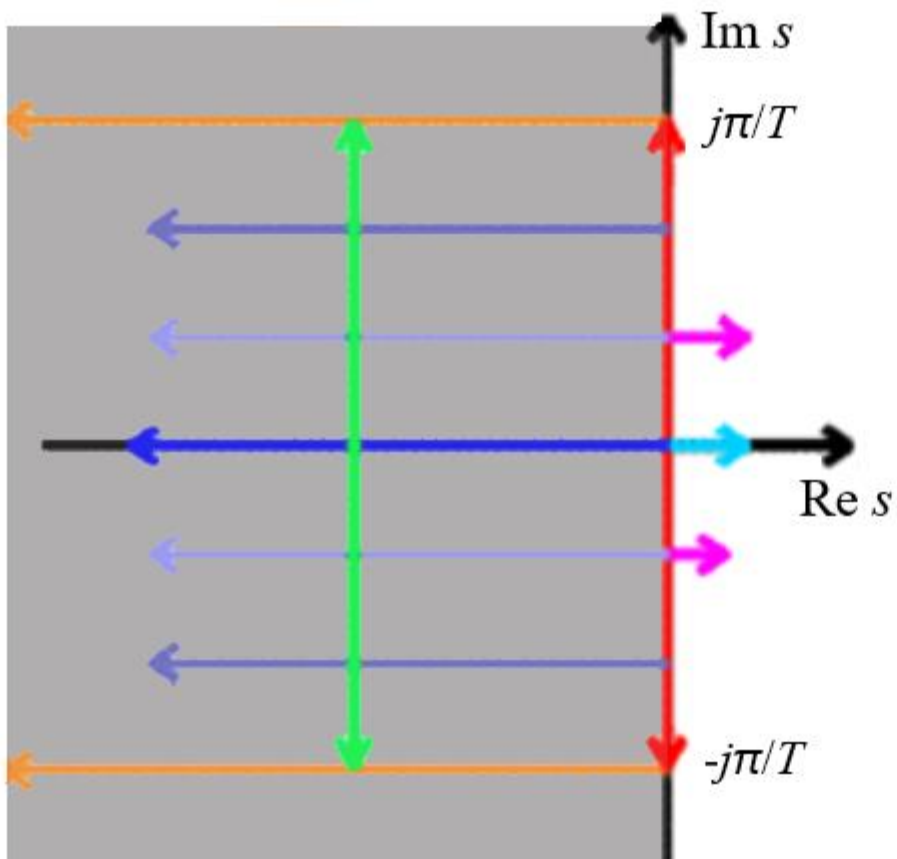
Podľa polohy pólov systému (koreňov charakteristickej rovnice URO) zisťujeme, či je systém (URO) stabilný. Ak je pól v spojitej oblasti (v s -rovine) $s_i = \sigma_i \pm j\omega_{s_i}$ jemu odpovedajúci pól v diskretnej oblasti (v z -rovine) je $z_i = e^{s_i T} = e^{T(\sigma_i \pm j\omega_{s_i})}$. Podmienka stability pre spojité systémy je zápornosť reálnej časti pólov s_i , táto podmienka implikuje podmienku pre diskkrétne póly systému, pre ktoré musí platiť $|z_i| < 1$.

stabilita „s“: $\text{Re}\{s_i\} < 0 \rightarrow \sigma_i < 0$



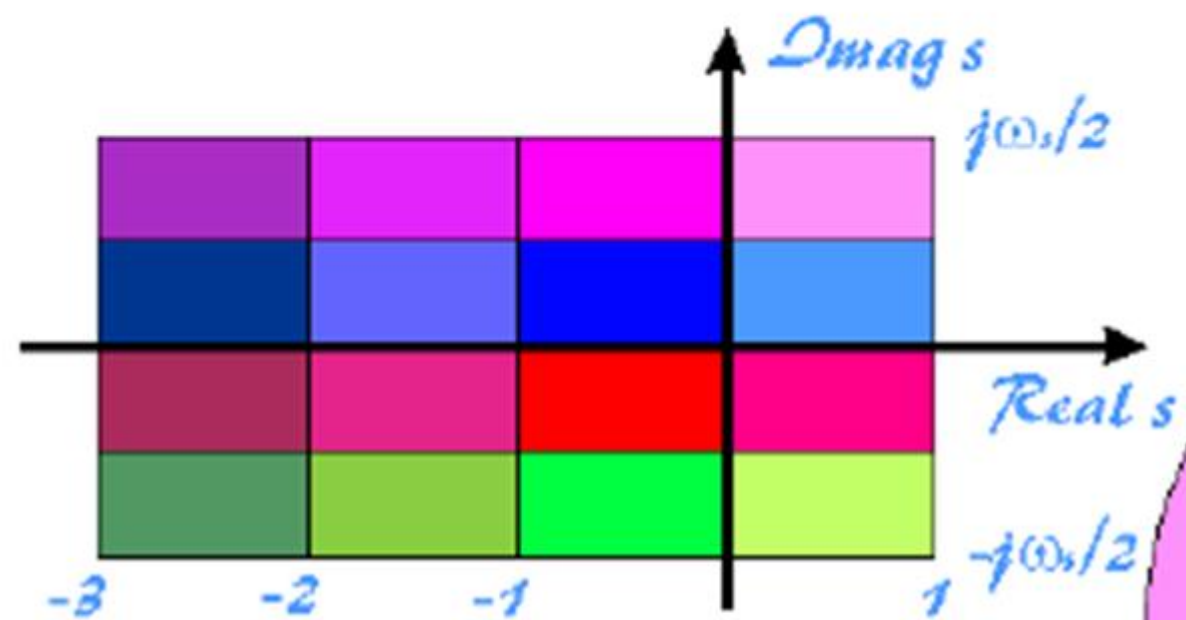
stabilita „z“: $|z_i| < 1$



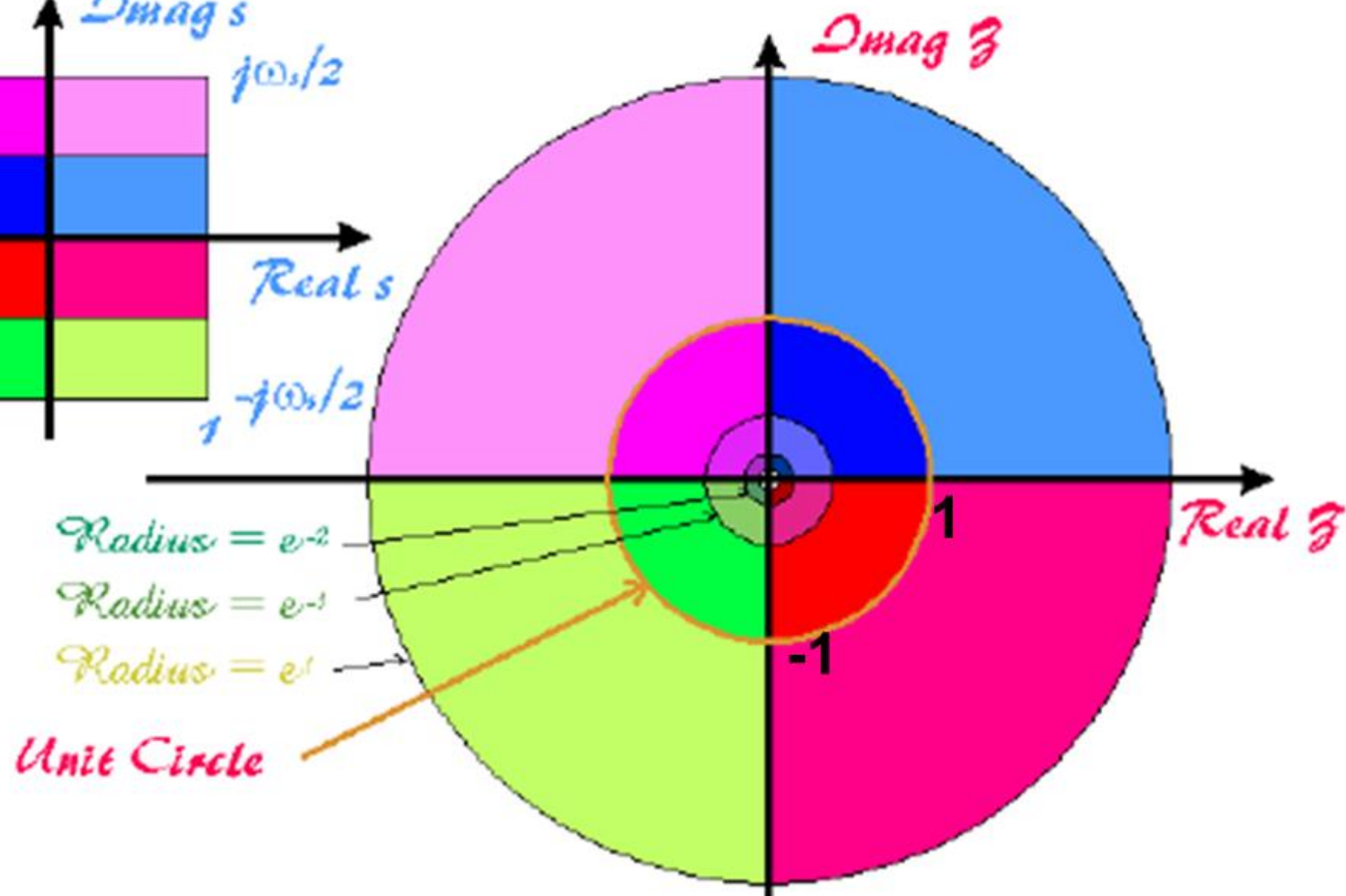


Oblasť stabilných pólov (šedá plocha) a oblasť nestabilných pólov pre spojité systémy (vľavo) a diskrétné systémy (vpravo).

s-plane



Z plane



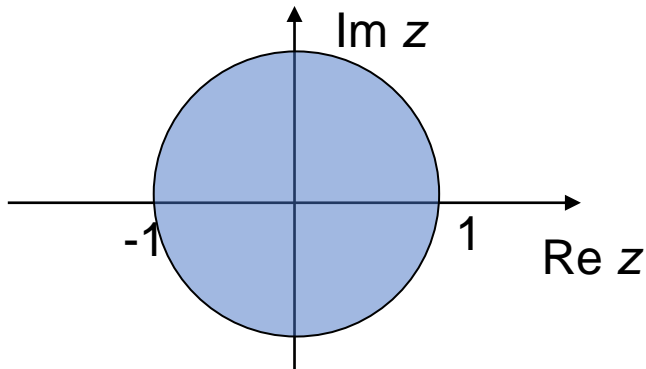
$$\text{pol } s_i = \sigma_i \pm j\omega_{si} \quad \text{a jemu odpovedajuci pol } z_i = e^{s_i T} = e^{T(\sigma_i \pm j\omega_{si})} = e^{\sigma_i T} e^{\pm j\omega_{si} T}$$

- ľavá polrovina s -oblasti (reálna zložka pólu je záporná) sa zobrazí do vnútra kružnice s polomerom $r=1$ v z -rovine (zahŕňa všetky asymptoticky stabilné póly, čiže modul komplexného koreňa je menší ako 1) – ASYMPTOTICKY STABILNÝ priebeh v časovej oblasti,
- pravá polrovina s -oblasti sa zobrazí mimo kružnice s polomerom $r=1$ v z -rovine – NESTABILNÝ,
- body na imaginárnej osi v s -rovine sa zobrazujú na jednotkovú kružnicu v z -rovine – HRANICA STABILITY,
- časť imaginárnej osi $0 \leq j\omega_{si} \leq j\pi/T$ s -roviny sa zobrazí na polkružnicu nad reálnou osou s polomerom $r=1$ v z -rovine – HRANICA STABILITY,
- časť imaginárnej osi $-j\pi/T \leq j\omega_{si} \leq 0$ s -roviny sa zobrazí na polkružnicu pod reálnou osou s polomerom $r=1$ v z -rovine – HRANICA STABILITY,
- záporná reálna os $-\infty < \sigma_i \leq 0$ s -roviny ($j\omega_{si} = 0$) sa zobrazí ako kladná časť reálnej osi $0 < z_i \leq 1$ v z -rovine – STABILNÝ NEKMITAVÝ (APERIODICKÝ),
- kladná časť reálnej osi $0 \leq \sigma_i < \infty$ s -roviny sa zobrazí ako kladná časť reálnej osi $1 \leq z_i < \infty$ v z -rovine – NESTABILNÝ,
- imaginárny koreň umiestnený na rovnobežke s reálnou osou $\omega_{si} = \pm j\pi/T$ so zápornou reálnou časťou $-\infty < \sigma_i \leq 0$ s -roviny sa zobrazí ako záporná časť reálnej osi $-1 \leq z_i \leq 0$ v z -rovine – STABILNÝ KMITAVÝ.

Podmienky stability diskrétného systému

- Diskrétny lineárny systém je asymptoticky stabilný, ak všetky póly diskrétnej prenosovej funkcie sú umiestnené vo vnútri jednotkovej kružnice.
- Ak sa jeden pól nachádza na jednotkovej kružnici (ostatné ležia v jednotkovej kružnici), potom je diskrétny dynamický systém na hranici stability.
- Ak je umiestnených niekoľko pólov na jednotkovej kružnici, potom je diskrétny dynamický systém nestabilný.

$$G(z) = \frac{Y(z)}{U(z)} = \frac{B(z)}{A(z)} = \frac{b_1 z^{-1} + \dots + b_m z^{-m}}{1 + a_1 z^{-1} + \dots + a_n z^{-n}} = \frac{b_1 z^{n-1} + \dots + b_m z^{n-m}}{z^n + a_1 z^{n-1} + \dots + a_n} =$$
$$= \frac{B(z)}{(z - z_1)(z - z_2) \dots (z - z_n)}$$



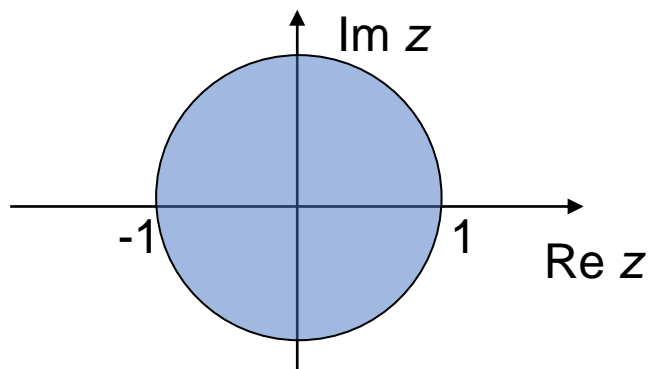
$$\boxed{|z_i| < 1} \quad \text{pre } i \in \langle 1, n \rangle$$

Overenie stability diskrétného URO

31

Diskrétny regulačný obvod je STABILNÝ, ak všetky póly charakteristickej rovnice URO (diskrétnej prenosovej funkcie) sú umiestnené vo vnútri jednotkovej kružnice (korene charakteristického polynómu ležia vo vnútri jednotkovej kružnice $|z_i| < 1$).

- zo zadanej spojitej prenosovej funkcie $G(s)$ určíme diskretnú prenosovú funkciu $G(z)$ (príkaz `c2d` v MATLABe)
- pre prenosovú funkciu ORO platí:



$$G_O(z) = G(z) \boxed{G_R(z)} = \frac{B(z)}{A(z)} \boxed{\frac{C(z)}{D(z)}}$$

Charakteristický polynóm: $P(z) = 1 + G_O(z)$

$$\begin{aligned} P(z) &= A(z)D(z) + B(z)C(z) = (1 - z_1 z^{-1})(1 - z_2 z^{-1}) \dots (1 - z_p z^{-1}) = \\ &= (z - z_1)(z - z_2) \dots (z - z_p) \end{aligned}$$

Ak ležia všetky korene z_i charakteristického polynómu $P(z)$ vo vnútri jednotkovej kružnice ($|z_i| < 1$), diskretný URO je stabilný. Existujú kritéria na určenie polohy koreňov napr. **bilinéarna transformácia**, Nekolného kritérium, Schurovo-Cohnovo-Juryho kritérium a iné.

Bilineárna transformácia

Taylorov rozvoj:

$$z = e^{sT} = \frac{e^{s\frac{T}{2}}}{e^{-s\frac{T}{2}}} \approx \frac{1 + s\frac{T}{2}}{1 - s\frac{T}{2}} \implies s = \frac{2}{T} \frac{z - 1}{z + 1}$$

Ak:

$$w = \frac{sT}{2}$$

Potom:

$$z = \frac{1 + w}{1 - w}, \quad w = \frac{z - 1}{z + 1}$$

- Ak $|z| < 1$ a $w = \sigma_i + j\omega_{si}$ potom $\sigma_i < 0$
- Ľavá polrovina „ w “ sa transformuje do jednotkovej kružnice v „ z “ (a naopak)

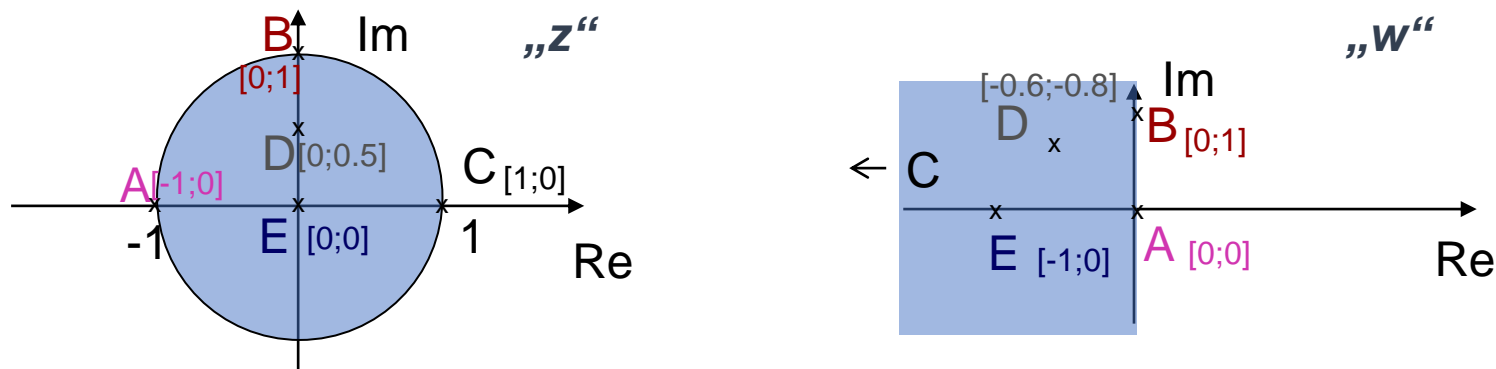
Overenie stability diskretného URO

Bilineárna transformácia

$$z = \frac{1+w}{1-w}, \quad w = \frac{z-1}{z+1}$$

Je to konformné zobrazenie ktorým charakteristickú rovnicu z diskretnéj z -oblasti prepočítame do spojitkej w -oblasti, v ktorej už môžeme používať všetky kritériá pre posudzovanie stability v s -oblasti (napr. Routhovo kritérium, ktoré je uvedené v 1. prednáške).

Bilineárna transformácia zachováva rozloženie pólov a funguje obojsmerne.



Overenie stability diskrétného URO

Bilineárna transformácia – príklad (1/2)

PR. Pomocou bilineárnej transformácie posúďte stabilitu systému (URO) s charakteristickým polynómom:

$$P(z) = z^3 - 2.539z^2 + 2.149z - 0.6065$$

Aplikovaním w -transformácie na charakteristickú rovnicu dostávame:

$$P(w) = \left(\frac{1+w}{1-w}\right)^3 - 2.539 \left(\frac{1+w}{1-w}\right)^2 + 2.149 \frac{1+w}{1-w} - 0.6065$$

$$z = \frac{1+w}{1-w}$$

Prenásobením polynómom $(1-w)^3$ dostávame:

$$(1+w)^3 - 2.539(1+w)^2(1-w) + 2.149(1+w)(1-w)^2 - 0.6065(1-w)^3 = 0$$

$$6.2945 w^3 + 1.5705 w^2 + 0.1315w + 0.0035 = 0$$

Overenie stability diskrétneho URO

Bilineárna transformácia – príklad (2/2)

Teraz môžeme použiť pre polynóm $P(w)$ Routhovo kritérium stability:

$$P(w) = 6.2945 w^3 + 1.5705 w^2 + 0.1315w + 0.0035$$

	w^3	6.2945	0.1315
$k_1 = \frac{6.2945}{1.5705}$	w^2	1.5705	0.0035
$k_2 = \frac{1.5705}{0.1175}$	w	0.1175	
$k_3 = \frac{0.1175}{0.0035}$	w^0	0.0035	

Nutnou a postačujúcou podmienkou stability je požiadavka, že $k_i > 0$, ($i=1, 2, 3$).
URO s charakteristickým polynómom $P(z)$ je **STABILNÝ**.

Kvalita riadenia v ustálenom stave

Ustálené hodnoty regulačnej odchýlky, regulovanej veličiny a riadiaceho zásahu

- ak je na vstupe do regulačného obvodu jednotkový skok $W(z)=1/(1-z^{-1})$

$$G_O(z)=G(z)G_R(z)$$

$$e(\infty) = \lim_{k \rightarrow \infty} e(k) = \lim_{z \rightarrow 1} (1 - z^{-1})E(z) = \lim_{z \rightarrow 1} (1 - z^{-1}) \frac{W(z)}{1 + G_O(z)} = \lim_{z \rightarrow 1} (1 - z^{-1}) \frac{1}{1 + G_O(z)} \frac{1}{1 - z^{-1}}$$

$$y(\infty) = \lim_{k \rightarrow \infty} y(k) = \lim_{z \rightarrow 1} (1 - z^{-1})Y(z) = \lim_{z \rightarrow 1} (1 - z^{-1}) \frac{G_O(z)}{1 + G_O(z)} W(z) = \lim_{z \rightarrow 1} (1 - z^{-1}) \frac{G_O(z)}{1 + G_O(z)} \frac{1}{1 - z^{-1}}$$

$$u(\infty) = \lim_{k \rightarrow \infty} u(k) = \lim_{z \rightarrow 1} (1 - z^{-1})U(z) = \lim_{z \rightarrow 1} (1 - z^{-1}) \frac{G_R(z)}{1 + G_O(z)} W(z) = \lim_{z \rightarrow 1} (1 - z^{-1}) \frac{G_R(z)}{1 + G_O(z)} \frac{1}{1 - z^{-1}}$$

```
T = 0.2; %zadáme si periódu vzorkovania
G = tf (25, [0.1 1.2 2], 'InputDelay', 0.2); %zadáme si spojitú prenosovú funkciu riadeného systému
Gz = c2d (G, T); % prepočet G(s) na G(z)
P=0.12; TI=0.6; TD=0.0833; %parametre spojitého regulátora

% prepočet parametrov spoj. reg. na diskretný (spätná obdĺžniková náhrada – vzťahy str. 15)
q0 = P*(1+TD/T+T/TI);
q1 = -P*(1+2*TD/T);
q2 = P*TD/T;

%prenosová funkcia PSD regulátora vyjadrená pomocou záporných mocnín z
GRz = filt ([q0 q1 q2],[1 -1],T)

%stabilita URO
CHRURO = minreal (1+Gz*GRz);
CHpolynom = CHRURO.Numerator{1}
polyURO = roots (CHpolynom)
absPOLY = abs (polyURO)
```

% kvalita riadenia v prech. stave

kvalitaPCH = stepinfo(Gyw);

MaxPrereg = kvalitaPCH.Overshoot

DobaReg = kvalitaPCH.SettlingTime

%kvalita riadenia v ustálenom stave LIMITY symb. toolbox

Gyw=minreal (Gz*GRz/(1+Gz*GRz));

cit = Gyw.Numerator{1}; den = Gyw.Denominator{1};

Guw=minreal (GRz/(1+Gz*GRz));

citU = Guw.Numerator{1}; denU = Guw.Denominator{1};

Gew=minreal (1/(1+Gz*GRz));

citE = Gew.Numerator{1}; denE = Gew.Denominator{1};

syms z

limitaY1=vpa (limit (poly2sym(cit,z)/poly2sym(den,z),z,1),4)

limitaU1=vpa (limit (poly2sym(citU,z)/poly2sym(denU,z),z,1),4)

limitaE1=vpa (limit (poly2sym(citE,z)/poly2sym(denE,z),z,1),4)

Ďalšie užitočné príkazy v MATLABe

tfdata

poly2sym

cell2mat

simplify

subs

numden